

# Modélisation d'un fluide diphasique à faible nombre de Mach avec forts transferts de chaleur

Bérénice GREC<sup>1</sup>

en collaboration avec S. DELLACHERIE, G. FACCANONI et Y. PENEL

<sup>1</sup>MAP5 – Université Paris Descartes, France

*Séminaire EDP de l'IRMAR, Rennes, 17 janvier 2019*

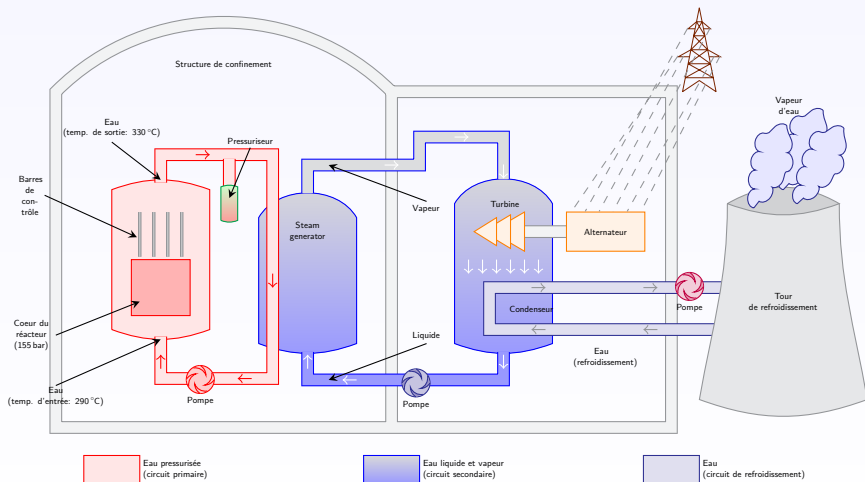


# Plan de l'exposé

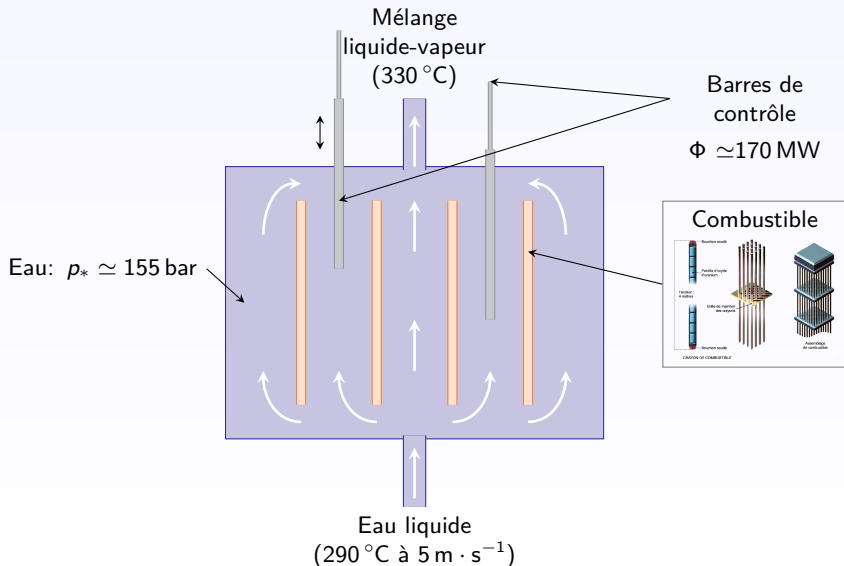
---

- 1 Contexte
- 2 Loi d'état et prise en compte du changement de phase
- 3 Résultats théoriques sur le modèle LMNC
- 4 Approches et résultats numériques
- 5 Perspectives

# Réacteur à Eau Pressurisée (REP)



# Coeur d'un Réacteur à Eau Pressurisée (REP)



# Faible nombre de Mach : quel modèle pour ce régime ?

## Régime nominal

- ▶ Vitesse d'entrée :  $|\mathbf{u}| \simeq 5 \text{ m} \cdot \text{s}^{-1}$
- ▶ Vitesse du son à  $p_0 = 155 \text{ bar}$  et  $T = 300 \text{ °C}$  :  $c_\ell^* \simeq 1.0 \times 10^3 \text{ m} \cdot \text{s}^{-1}$
- ▶ nombre de Mach (mesure la compressibilité de l'écoulement) :

$$\text{Ma} = \frac{|\mathbf{u}|}{c_\ell^*} \simeq 5 \times 10^{-3} \ll 1$$

Choix du modèle :

- ▶ Navier-Stokes/Euler compressible ?
- ▶ Incompressible ?
- ▶ Modèle adapté au régime bas Mach ?

Phénomènes acoustiques négligeables (pas d'ondes de choc)

MAIS grands transferts de chaleur :  $\text{div } \mathbf{u} \neq 0$

⇒ Modèle asymptotique à bas nombre de Mach

# De Navier-Stokes compressible au modèle LMNC

## Système de Navier-Stokes compressible

$$\begin{cases} \partial_t \rho + \operatorname{div}(\rho \mathbf{u}) = 0, \\ \partial_t(\rho h) + \operatorname{div}(\rho h \mathbf{u}) = \Phi + \operatorname{div}(\lambda \nabla T) + \partial_t p + \mathbf{u} \cdot \nabla p + \sigma(\mathbf{u}) :: \sigma(\mathbf{u}), \\ \partial_t(\rho \mathbf{u}) + \operatorname{div}(\rho \mathbf{u} \otimes \mathbf{u}) - \operatorname{div} \sigma(\mathbf{u}) + \nabla p = \rho \mathbf{g}. \end{cases}$$

### ► Inconnues

- $(t, \mathbf{x}) \mapsto \mathbf{u}$  : vitesse
- $(t, \mathbf{x}) \mapsto h$  : enthalpie
- $(t, \mathbf{x}) \mapsto p$  : pression
- $\rho, T$  : densité et température liées à  $h$  et  $p$  par la loi d'état

### ► Données

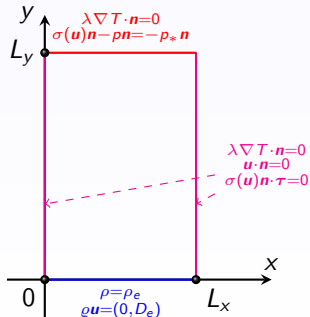
- $(t, \mathbf{x}) \mapsto \Phi \geq 0$  : densité de puissance
- $\mathbf{g}$  : gravité
- $\lambda$  : conductivité thermique
- $\sigma(\mathbf{u})$  : tenseur de contraintes (viscosité)

# De Navier-Stokes compressible au modèle LMNC

## Système de Navier-Stokes compressible

$$\begin{cases} \partial_t \rho + \operatorname{div}(\rho \mathbf{u}) = 0, \\ \partial_t(\rho h) + \operatorname{div}(\rho h \mathbf{u}) = \Phi + \operatorname{div}(\lambda \nabla T) + \partial_t p + \mathbf{u} \cdot \nabla p + \sigma(\mathbf{u}) :: \sigma(\mathbf{u}), \\ \partial_t(\rho \mathbf{u}) + \operatorname{div}(\rho \mathbf{u} \otimes \mathbf{u}) - \operatorname{div} \sigma(\mathbf{u}) + \nabla p = \rho \mathbf{g}. \end{cases}$$

### ► Conditions limites



# De Navier-Stokes compressible au modèle LMNC

Système de Navier-Stokes compressible

$$\begin{cases} \partial_t \rho + \operatorname{div}(\rho \mathbf{u}) = 0, \\ \partial_t(\rho h) + \operatorname{div}(\rho h \mathbf{u}) = \Phi + \operatorname{div}(\lambda \nabla T) + \partial_t p + \mathbf{u} \cdot \nabla p + \mathcal{O}(\varepsilon^2), \\ \partial_t(\rho \mathbf{u}) + \operatorname{div}(\rho \mathbf{u} \otimes \mathbf{u}) - \operatorname{div} \sigma(\mathbf{u}) + \frac{1}{\varepsilon^2} \nabla p = \rho \mathbf{g}. \end{cases}$$

- ▶ **Adimensionnement**  $\text{Ma} = \varepsilon$  et développement asymptotique

$$p = p^{(0)} + \varepsilon p^{(1)} + \varepsilon^2 p^{(2)} + \mathcal{O}(\varepsilon^3)$$

- ▶  $\nabla p^{(0)} = \nabla p^{(1)} = 0$  avec la condition limite de sortie indépendante de  $t$

$$\implies p(t, \mathbf{x}) = p_* + \varepsilon^2 \bar{p}(t, \mathbf{x}).$$

La pression est décomposée entre une partie thermodynamique constante  $p_*$  et une partie dynamique d'ordre  $\varepsilon^2 \bar{p}$ .



# Modèle à faible nombre de Mach

## Modèle LMNC

$$\begin{cases} \operatorname{div} \mathbf{u} = \frac{\beta(h, p_*)}{\rho_*} \left[ \Phi + \operatorname{div} \left( \Lambda(h, p_*) \nabla h \right) \right], \\ \rho(h, p_*) \left( \partial_t h + \mathbf{u} \cdot \nabla h \right) = \Phi + \operatorname{div} \left( \Lambda(h, p_*) \nabla h \right), \\ \rho(h, p_*) \left( \partial_t \mathbf{u} + (\mathbf{u} \cdot \nabla) \mathbf{u} \right) + \nabla \bar{p} = \operatorname{div}(\boldsymbol{\sigma}(\mathbf{u})) + \rho(h, p_*) \mathbf{g}. \end{cases}$$

- ▶ Coefficient de compressibilité  $\beta(h, p_*) = -\frac{p_*}{\rho^2} \frac{\partial \rho}{\partial h}(h, p_*)$
- ▶ Equation d'état : analytique ou tabulée  
 $\rightsquigarrow$  par exemple, gaz raidis (SG) :  $\rho(h, p_*) = \frac{\gamma}{\gamma - 1} \frac{p_* + \pi}{h - q}$
- ▶ Réécriture du terme de diffusion thermique

$$\lambda(h, p_*) \nabla T = \frac{\lambda(h, p_*)}{c_p(h, p_*)} \nabla h = \Lambda(h, p_*) \nabla h$$

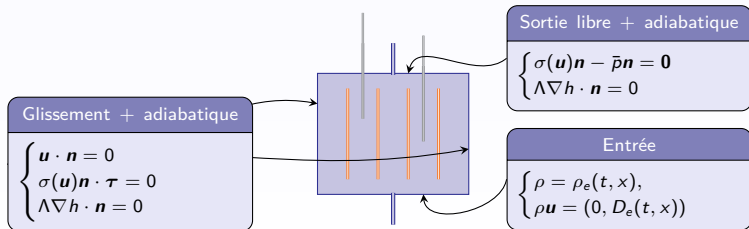
- ▶ Tenseur de contraintes  $\boldsymbol{\sigma}(\mathbf{u}) = \mu(h, p_*) (\nabla \mathbf{u} + (\nabla \mathbf{u})^T) + \eta(h, p_*) (\operatorname{div} \mathbf{u}) \mathbf{Id}$

# Modèle à faible nombre de Mach

## Modèle LMNC

$$\begin{cases} \operatorname{div} \mathbf{u} = \frac{\beta(h, p_*)}{\rho_*} \left[ \Phi + \operatorname{div} \left( \Lambda(h, p_*) \nabla h \right) \right], \\ \rho(h, p_*) \left( \partial_t h + \mathbf{u} \cdot \nabla h \right) = \Phi + \operatorname{div} \left( \Lambda(h, p_*) \nabla h \right), \\ \rho(h, p_*) \left( \partial_t \mathbf{u} + (\mathbf{u} \cdot \nabla) \mathbf{u} \right) + \nabla \bar{p} = \operatorname{div}(\boldsymbol{\sigma}(\mathbf{u})) + \rho(h, p_*) \mathbf{g}. \end{cases}$$

## Conditions initiales + conditions limites



# Analyse de modèles bas Mach

---

- ▶ Applications en combustion : Majda, Klein, ...
- ▶ Applications en astrophysique : Colella, Almgren, ...
- ▶ Applications dans le nucléaire : Bell, Paillère, Dellacherie, ...

## Etudes théoriques

- ▶ Klainerman & Majda ('81, '82) : modèles barotropiques (certains domaines)
- ▶ Schochet ('94) : convergence pour Euler barotropique pour toute CI
- ▶ Desjardins, Grenier, Lions & Masmoudi ('99) : cas de domaines bornés
- ▶ Danchin ('01, '05) : extension aux espaces de Besov spaces
- ▶ Alazard ('05) : extension à des équations d'état générales

## Aspects numériques

- ▶ Klein ('95): splitting d'opérateurs
- ▶ Guillard *et al.* ('99, '04, '08) : dvt. asymptotique en  $Ma$  dans les schémas
- ▶ Dellacherie *et al.* ('10, '13) : analyse de schémas à l'aide de la décomposition de Schochet, stabilité des noyaux discrets

# Plan de l'exposé

---

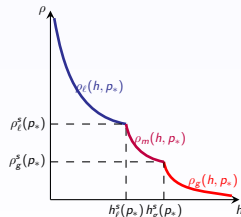
- 1 Contexte
- 2 Loi d'état et prise en compte du changement de phase
- 3 Résultats théoriques sur le modèle LMNC
- 4 Approches et résultats numériques
- 5 Perspectives

# Loi d'état diphasique

- ▶ Le liquide  $\kappa = \ell$  et la vapeur  $\kappa = g$  sont caractérisés par leurs propriétés thermodynamiques :  $(h, p_*) \mapsto \rho_\kappa$
- ▶ Dans le mélange, équilibre entre les phases liquides et vapeur :  $T = T^s(p_*)$ .  
On définit les valeurs à saturation

$$h_\kappa^s(p_*) \stackrel{\text{def}}{=} h_\kappa(p_*, T^s(p_*)), \quad \rho_\kappa^s(p_*) \stackrel{\text{def}}{=} \rho_\kappa(h_\kappa^s, p_*).$$

$$\rho(h, p_*) = \begin{cases} \rho_\ell(h, p_*), & \text{si } h \leq h_\ell^s(p_*), \\ \rho_m(h, p_*) & \text{si } h_\ell^s(p_*) < h < h_g^s(p_*), \\ \rho_g(h, p_*), & \text{si } h \geq h_g^s(p_*). \end{cases}$$



# Loi d'état dans le mélange

En définissant  $\alpha$  la fraction de volume de la phase vapeur, l'équilibre donne

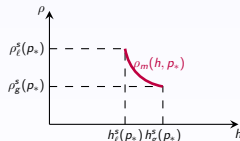
$$\begin{cases} \rho = \alpha \rho_g^s(p_*) + (1 - \alpha) \rho_\ell^s(p_*) \\ \rho h = \alpha \rho_g^s(p_*) h_g^s(p_*) + (1 - \alpha) \rho_\ell^s(p_*) h_\ell^s(p_*) \end{cases} \quad \text{pour } h \in [h_\ell^s(p_*); h_g^s(p_*)]$$

⇓

Expression de la densité

$$\rho_m(h, p_*) = \frac{p_* / \beta_m(p_*)}{h - q_m(p_*)}$$

où



$$\beta_m(p_*) \stackrel{\text{def}}{=} p_* \frac{\frac{1}{\rho_g^s} - \frac{1}{\rho_\ell^s}}{h_g^s - h_\ell^s} = - \frac{p_*}{\rho_m(h, p_*)} \left. \frac{\partial \rho_m}{\partial h} \right|_{p_*} \quad q_m(p_*) \stackrel{\text{def}}{=} \frac{\rho_g^s h_g^s - \rho_\ell^s h_\ell^s}{\rho_g^s - \rho_\ell^s}$$

# Loi d'état pour les phases pures: NASG

Loi des Noble Able Stiffened Gas (NASG)

$$\frac{1}{\rho_{\kappa}}(h, p_*) = \frac{\gamma_{\kappa} - 1}{\gamma_{\kappa}} \frac{h - q_{\kappa}}{p_* + \pi_{\kappa}} + b_{\kappa}$$

- ▶  $\gamma_{\kappa} > 1$  coefficient adiabatique
- ▶  $\pi_{\kappa}$  pression de référence
- ▶  $q_{\kappa}$  énergie de liaison
- ▶  $b_{\kappa}$  covolume

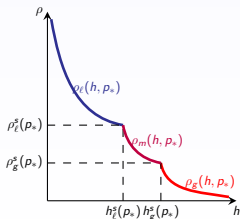
On obtient

$$\beta_{\kappa}(p_*) = - \frac{p_*}{\rho_{\kappa}^2(h, p_*)} \left. \frac{\partial \rho}{\partial h} \right|_{p_*} = \frac{\gamma_{\kappa} - 1}{\gamma_{\kappa}} \frac{p_*}{p_* + \pi_{\kappa}}$$

Nouvelle expression de  $\rho$

$$\rho_{\kappa}(h, p_*) = \frac{p_* / \beta_{\kappa}(p_*)}{h - \hat{q}_{\kappa}(p_*)}, \quad \hat{q}_{\kappa}(p_*) \stackrel{\text{def}}{=} q_{\kappa} - \frac{p_*}{\beta_{\kappa}(p_*)} b_{\kappa}$$

indépendant de  $h$



## Loi d'état pour les phases pures : données tabulées

$\kappa$	$h_{\kappa}$ [kJ · kg <sup>-1</sup> ]	$\rho_{\kappa}$ [kg · m <sup>-3</sup> ]	$T_{\kappa}$ [K]	...	$\beta_{\kappa}$
$\ell$	978.702	842.783	500.000	...	<b>X</b>
$\ell$	980.223	842.359	500.336	...	<b>X</b>
⋮	⋮	⋮	⋮	⋮	⋮
$\ell$	1627.450	595.733	617.667	...	<b>X</b>
$\ell$	$h_{\ell}^s=1629.880$	594.379	$T^s=617.939$	...	<b>X</b>
$g$	$h_g^s=2596.119$	101.930	$T^s=617.939$	...	<b>X</b>
$g$	2596.965	101.816	618.00	...	<b>X</b>
⋮	⋮	⋮	⋮	⋮	⋮
$g$	3066.962	60.540	699.667	...	<b>X</b>
$g$	3068.184	60.473	700.000	...	<b>X</b>

Source : <http://webbook.nist.gov/chemistry/fluid/>

Les quantités  $c_{\kappa}^*$ ,  $c_{p_{\kappa}}$ ,  $c_{v_{\kappa}}$ ,  $\lambda_{\kappa}$ ,  $\mu_{\kappa}$  sont aussi tabulées.



# Loi d'état pour les phases pures : données tabulées à $p_*$

Mauvaise idée : fitting de  $\rho$  à partir des données tabulées

$$\rho_\kappa(h, p_*) \approx \tilde{\rho}_\kappa(h) := \sum_{j=0}^{d_{\rho, \kappa}} r_{\kappa, j} \left( \frac{h}{10^6} \right)^j$$

$$\implies \beta_\kappa(h, p_*) = -\frac{p_*}{\rho_\kappa^2(h, p_*)} \frac{\partial \rho_\kappa}{\partial h}(h, p_*) \approx \tilde{\beta}_\kappa(h) = ?$$

## Inconvénients

- ▶ Les valeurs à saturation ne sont pas vérifiées exactement
- ▶ Pas de monotonie ni de positivité a priori pour  $\tilde{\rho}$  ou  $\tilde{\beta}$
- ▶ Possibles instabilités dans le calcul de  $\tilde{\beta}$

# Loi d'état pour les phases pures : données tabulées à $p_*$

Nouvelle expression pour le coefficient de compressibilité :

$$\beta = \frac{p}{\rho c^* \sqrt{T}} \sqrt{\frac{1}{c_v} - \frac{1}{c_p}}$$

⇒ fitting de  $\beta$  à partir des données tabulées pour  $T$ ,  $c_v$ ,  $c_p$ ,  $c^*$ ,  $\rho$

$$\beta_{\kappa}(h, p_*) \approx \tilde{\beta}_{\kappa}(h) := \sum_{j=0}^{d_{\beta, \kappa}} b_{\kappa, j} \left( \frac{h}{10^6} \right)^j.$$

Reconstruction de  $\rho$

$$\frac{1}{\rho}(h, p_*) \approx \frac{1}{\tilde{\rho}(h)} := \begin{cases} \frac{1}{\tilde{\rho}_\ell}(h) := \frac{1}{\rho_\ell^s(p_*)} + \int_{h_\ell^s}^h \frac{\tilde{\beta}_\ell(h)}{p_*} dh, & \text{si } h \leq h_\ell^s, \\ \frac{1}{\tilde{\rho}_m}(h), & \text{si } h_\ell^s < h < h_g^s, \\ \frac{1}{\tilde{\rho}_g}(h) := \frac{1}{\rho_g^s(p_*)} + \int_{h_g^s}^h \frac{\tilde{\beta}_g(h)}{p_*} dh, & \text{si } h \geq h_g^s. \end{cases}$$

# Loi d'état pour les phases pures : données tabulées à $p_*$

Nouvelle expression pour le coefficient de compressibilité :

$$\beta = \frac{p}{\rho c^* \sqrt{T}} \sqrt{\frac{1}{c_v} - \frac{1}{c_p}}$$

⇒ fitting de  $\beta$  à partir des données tabulées pour  $T$ ,  $c_v$ ,  $c_p$ ,  $c^*$ ,  $\rho$

$$\beta_{\kappa}(h, p_*) \approx \tilde{\beta}_{\kappa}(h) := \sum_{j=0}^{d_{\beta, \kappa}} b_{\kappa, j} \left( \frac{h}{10^6} \right)^j.$$

## Proposition

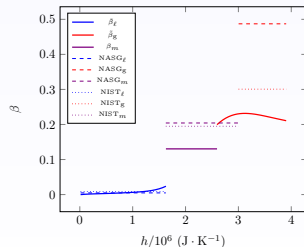
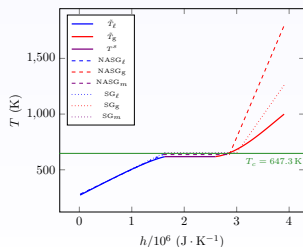
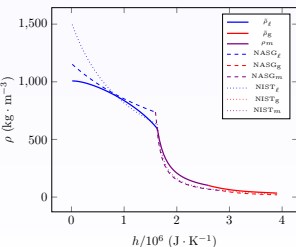
- ① La relation  $\tilde{\beta} = -\frac{p_*}{\tilde{\rho}^2} \frac{\partial \tilde{\rho}}{\partial h}$  est vérifiée exactement ;
- ②  $h \mapsto \tilde{\rho}(h)$  est continue, positive et décroissante sur  $(h_{\min}, h_{\max})$ .

## Choix du degré $d_{\beta, \kappa}$ selon la précision voulue

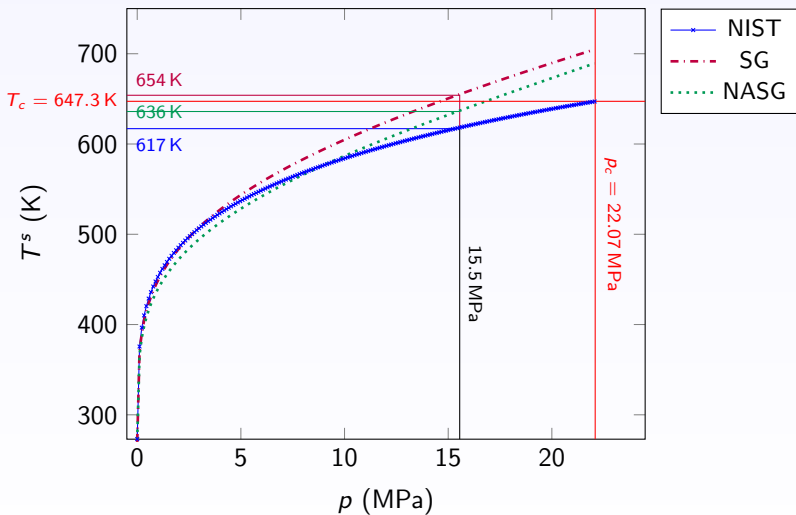
↪ Même avec  $d_{\beta, \kappa} = 0$ , bien meilleurs résultats qu'avec les EOS analytiques de type (NA)SG

# Comparaison des lois d'état

	SG	NASG	NIST
$h_\ell^s$	$1.627 \times 10^6 \text{ J} \cdot \text{kg}^{-1}$	$1.596 \times 10^6 \text{ J} \cdot \text{kg}^{-1}$	$1.629 \times 10^6 \text{ J} \cdot \text{kg}^{-1}$
$h_g^s$	$3.004 \times 10^6 \text{ J} \cdot \text{kg}^{-1}$	$2.861 \times 10^6 \text{ J} \cdot \text{kg}^{-1}$	$2.596 \times 10^6 \text{ J} \cdot \text{kg}^{-1}$
$\rho_\ell^s$	$632.663 \text{ kg} \cdot \text{m}^{-3}$	$737.539 \text{ kg} \cdot \text{m}^{-3}$	$594.38 \text{ kg} \cdot \text{m}^{-3}$
$\rho_g^s$	$52.937 \text{ kg} \cdot \text{m}^{-3}$	$55.486 \text{ kg} \cdot \text{m}^{-3}$	$101.93 \text{ kg} \cdot \text{m}^{-3}$
$T^s$	654.65 K	636.47 K	617.939 K



# Comparaison des lois d'état



Il s'agit ici d'une loi d'état incomplète adaptée à l'approche bas Mach où  $p = p_*$  !

# Données tabulées pour la diffusion thermique

On peut aussi utiliser cette approche (indépendamment) pour définir  $T(h, p_*)$  et  $c_p(h, p_*)$ .

Fitting de  $1/c_p$  à partir des données tabulées

$$\frac{1}{c_{p_{\kappa}}(h, p_*)} \approx \frac{1}{\tilde{c}_{p_{\kappa}}(h)} := \sum_{j=0}^{d_{c_p, \kappa}} c_{\kappa, j} \left( \frac{h}{10^6} \right)^j.$$

Reconstruction de  $T$

$$T(h, p_*) \approx \tilde{T}(h) := \begin{cases} \tilde{T}_\ell(h) := T^s + \int_{h_\ell^s}^h \frac{1}{\tilde{c}_{p_\ell}(h)} dh, & \text{si } h \leq h_\ell^s, \\ T^s, & \text{si } h_\ell^s < h < h_g^s, \\ \tilde{T}_g(h) := T^s + \int_{h_g^s}^h \frac{1}{\tilde{c}_{p_g}(h)} dh, & \text{si } h \geq h_g^s. \end{cases}$$

Pour les quantités dont les variations sont faibles sur la plage de  $h$  considérée ( $\mu$ ,  $\lambda$ , ...), on peut utiliser la même approche avec  $d = 0$ .

# Plan de l'exposé

---

- 1 Contexte
- 2 Loi d'état et prise en compte du changement de phase
- 3 Résultats théoriques sur le modèle LMNC**
- 4 Approches et résultats numériques
- 5 Perspectives

# Modèle en 1D sans diffusion thermique

$$\begin{cases} \partial_y v = \frac{\beta(h, p_*)}{p_*} \Phi = -\frac{\rho'(h)}{\rho(h)^2} \Phi, \\ \rho(h)(\partial_t h + v \partial_y h) = \Phi, \\ \rho(h)(\partial_t v + v \partial_y v) + \partial_y \bar{p} = \partial_y(\mu \partial_x v) - \rho(h)g. \end{cases}$$

## Solution stationnaire pour une loi d'état quelconque

① On observe que  $\rho(h)v$  est constant (égal à  $D_e$ ), donc

$$v^\infty(y) = \frac{D_e}{\rho(h^\infty(y))}$$

② On déduit l'**enthalpie** :

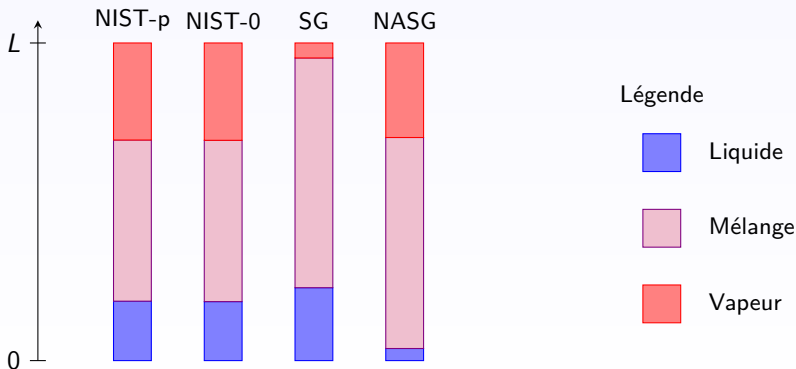
$$h^\infty(y) = h_e + \frac{\Psi(y)}{D_e}, \quad \text{où } \Psi(y) := \int_0^y \Phi^\infty(z) dz$$

③ **Pression dynamique  $\bar{p}$**  : intégration de la troisième équation



# Modèle en 1D sans diffusion thermique

$$\begin{cases} \partial_y v = \frac{\beta(h, p_*)}{p_*} \Phi = -\frac{\rho'(h)}{\rho(h)^2} \Phi, \\ \rho(h)(\partial_t h + v \partial_y h) = \Phi, \\ \rho(h)(\partial_t v + v \partial_y v) + \partial_y \bar{p} = \partial_y (\mu \partial_x v) - \rho(h)g. \end{cases}$$



# Modèle en 1D sans diffusion thermique

Influence du chauffage et choix du modèle : solutions stationnaires (gaz parfait monophasique, sans viscosité ni gravité,  $\Phi$ ,  $h_e$ ,  $v_e$  constants)

- ▶ Euler compressible sans  $\Phi$

$$h^\infty = h_e, \quad v^\infty = v_e$$

- ▶ Euler compressible avec  $\Phi$ <sup>1</sup>

$$\begin{cases} h^\infty = h_e \frac{2\gamma\tilde{p}_e + \gamma - 1 + \tilde{\Phi}y}{\gamma(\tilde{p}_e + 1) + \sqrt{(\gamma\tilde{p}_e + 1)^2 - (\gamma^2 - 1)\tilde{\Phi}y}}, \\ v^\infty = \frac{v_e}{\gamma + 1} \left( \gamma(\tilde{p}_e + 1) - \sqrt{(\gamma\tilde{p}_e + 1)^2 - (\gamma^2 - 1)\tilde{\Phi}y} \right) \end{cases}$$

- ▶ modèle bas Mach avec  $\Phi$

$$h^\infty = h_e + \frac{\Phi}{\rho_e v_e} y, \quad v^\infty = v_e + \frac{\beta\Phi}{p_0} y$$

- ▶ incompressible avec  $\Phi$  (approximation de Boussinesq)

$$h^\infty = h_e + \frac{\Phi}{\rho_e v_e} y, \quad v^\infty = v_e$$

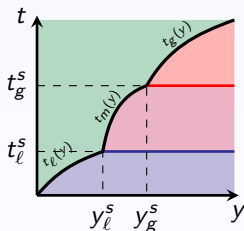
---


$${}^1\tilde{\Phi} = 2\Phi/\rho_e v_e^3, \quad \tilde{p}_0 = p_0/\rho_e v_e^2, \quad \tilde{p}_e = \left(1 - \tilde{p}_0 + \sqrt{(\gamma\tilde{p}_0 - 1)^2 + \tilde{\Phi}L}\right)/(\gamma - 1).$$

# Modèle en 1D sans diffusion thermique

## Solution exacte avec changement de phase (NASG)

$\Phi$ ,  $v_e$ ,  $h_e$ ,  $h_0$  : constants; Cl et CL : phase liquide.



$$y_\ell^s = \frac{D_e}{\Phi} (h_\ell^s - h_e)$$

$$y_g^s = \frac{D_e}{\Phi} (h_g^s - h_e)$$

$$t_\ell^s = \frac{1}{\Phi_\ell} \ln \left( \frac{h_\ell^s - \hat{q}_\ell}{h_0 - \hat{q}_\ell} \right)$$

$$t_g^s = t_\ell^s + \frac{1}{\Phi_m} \ln \left( \frac{h_g^s - \hat{q}_m}{h_\ell^s - \hat{q}_m} \right)$$

**Enthalpie:** méthode des caractéristiques appliquée à  $\partial_t h + v \partial_y h = \frac{\beta(h)\Phi}{p_*} (h - \hat{q}(h))$ .

$$h(t, y) = \begin{cases} q_\ell + (h_0 - \hat{q}_\ell) e^{\hat{\Phi}_\ell t} & \text{si } (t, y) \in \mathcal{L} \text{ et } t < t_\ell(y), \\ q_m + (h_\ell^s - \hat{q}_m) e^{\hat{\Phi}_m(t-t_\ell^s)} & \text{si } (t, y) \in \mathcal{M} \text{ et } t < t_m(y), \\ q_g + (h_g^s - \hat{q}_g) e^{\hat{\Phi}_g(t-t_g^s)} & \text{si } (t, y) \in \mathcal{G} \text{ et } t < t_g(y), \\ h_e + \frac{\Phi}{D_e} y & \text{sinon.} \end{cases}$$

# Modèle en 2D sans diffusion thermique

---

Existence (en temps court) pour le modèle LMNC

$$\begin{cases} \operatorname{div} \mathbf{u} = \frac{\beta(h, p_*)}{\rho_*} \Phi, \\ \rho(h, p_*) \left( \partial_t h + \mathbf{u} \cdot \nabla h \right) = \Phi, \\ \rho(h, p_*) \left( \partial_t \mathbf{u} + (\mathbf{u} \cdot \nabla) \mathbf{u} \right) + \nabla \bar{p} = \operatorname{div}(\sigma(\mathbf{u})) + \rho(h, p_*) \mathbf{g}. \end{cases}$$

En système fermé (glissement sur tous les bords)

- ▶ Linéarisation (itérées de Picard)
- ▶ Estimations d'énergie : itérées bornées dans des espaces fonctionnels réguliers
  - ▶ Equation de transport
  - ▶ Equation type Navier-Stokes (décomposition de Hodge)
- ▶ Contraction dans des espaces fonctionnels moins réguliers
- ▶ Grönwall  $\rightsquigarrow$  convergence, existence en temps court
- ▶ Unicité

# Modèle en 2D sans diffusion thermique

Existence (en temps court) pour le modèle LMNC

$$\begin{cases} \operatorname{div} \mathbf{u} = \frac{\beta(h, p_*)}{\rho_*} \Phi, \\ \rho(h, p_*) \left( \partial_t h + \mathbf{u} \cdot \nabla h \right) = \Phi, \\ \rho(h, p_*) \left( \partial_t \mathbf{u} + (\mathbf{u} \cdot \nabla) \mathbf{u} \right) + \nabla \bar{p} = \operatorname{div}(\sigma(\mathbf{u})) + \rho(h, p_*) \mathbf{g}. \end{cases}$$

Avec les conditions limites physiques

- ▶ Equation type Navier-Stokes :

↪ adaptation de la condition limite en sortie (sortie libre)

$$\sigma(\mathbf{u})\mathbf{n} - \bar{p}\mathbf{n} - \frac{1}{2}\rho(\mathbf{u} \cdot \mathbf{n})^- = 0$$

↪ adaptation de la décomposition de Hodge aux conditions limites

- ▶ Equation de transport :

↪ on ne contrôle pas le signe du terme en sortie...

↪ utilisation de la formule explicite pour les caractéristiques :

- ▶ compatibilité entre les domaines utilisant condition initiale/limite...
- ▶ régularité aux interfaces entre ces domaines...

# Plan de l'exposé

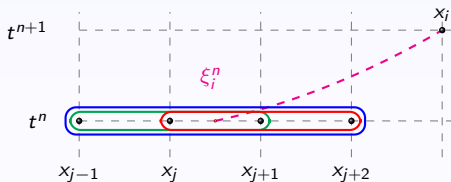
---

- 1 Contexte
- 2 Loi d'état et prise en compte du changement de phase
- 3 Résultats théoriques sur le modèle LMNC
- 4 Approches et résultats numériques**
- 5 Perspectives

# Transport : Méthode des caractéristiques

Schéma à stencil adaptatif :

- ▶ vérifie le principe du maximum
- ▶ inconditionnellement stable ( $L^\infty$ ,  $L^2$ ), ordre 2 en espace



- ▶ Détermination du pied de la caractéristique  $\xi_i^n$ , et  $\theta_{ij}^n = \frac{x_{j+1} - \xi_i^n}{\Delta x}$
- ▶ Choix du stencil pour vérifier le principe du maximum, montée à l'ordre 3

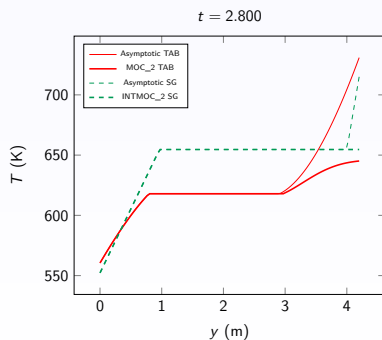
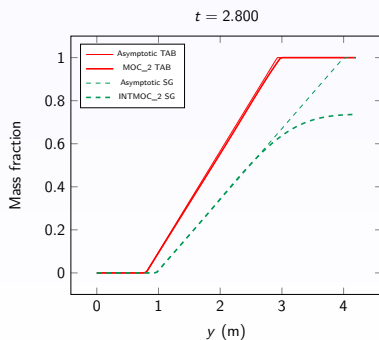
$$\hat{h}_i^n := \alpha_{ij}^n \mathcal{H}^\ell(h_{j-1}, h_j, h_{j+1}) + (1 - \alpha_{ij}^n) \mathcal{H}^r(h_j, h_{j+1}, h_{j+2}), \text{ avec } \alpha_{ij}^n = \frac{1 + \theta_{ij}^n}{3}$$

- ▶ Avancée en temps :  $\frac{h_i^{n+1} - \hat{h}_i^n}{\Delta t} = \frac{\Phi(t^n, \xi_i^n)}{\rho(\hat{h}_i^n, p_*)}$

# Transport : Méthode des caractéristiques

Pour une loi d'état NASG, le schéma peut-être modifié en une formulation intégrée plus précise.

$$D_e = 375 \text{ kg} \cdot \text{m}^{-2} \cdot \text{s}^{-1}, \quad \rho_e = 750 \text{ kg} \cdot \text{m}^{-3}, \quad \Phi = 170 \times 10^6 \text{ W} \cdot \text{m}^{-3}$$





# Formulation faible

## ► Formulation équivalente

$$\begin{cases} \operatorname{div} \mathbf{u} = \frac{\beta(h)}{\rho_0} [\Phi + \operatorname{div}(\Lambda(h)\nabla h)] = \frac{\beta(h)\rho(h)}{\rho_0} [\partial_t h + \mathbf{u} \cdot \nabla h] \\ \rho(h) (\partial_t h + \mathbf{u} \cdot \nabla h) = \Phi + \operatorname{div}(\Lambda(h)\nabla h) \\ \rho(h) (\partial_t \mathbf{u} + (\mathbf{u} \cdot \nabla)\mathbf{u}) + \nabla \bar{p} = \operatorname{div}(\sigma(\mathbf{u})) + \rho(h)\mathbf{g} \end{cases}$$

## ► Permet d'éviter des termes de bord (après IPP) sur $\{\mathbf{x} \in \Omega : h(t, \mathbf{x}) = h_{\kappa}^s\}$ , et donc

- d'augmenter la régularité de l'espace fonctionnel de  $p_{\text{test}}$
- d'approcher  $\frac{\partial \beta}{\partial h}$

et numériquement, à chaque pas de temps,

- de déterminer les zones  $h(t^n, \cdot) = h_{\kappa}^s$ ,
- de remailler pour capturer ces zones.

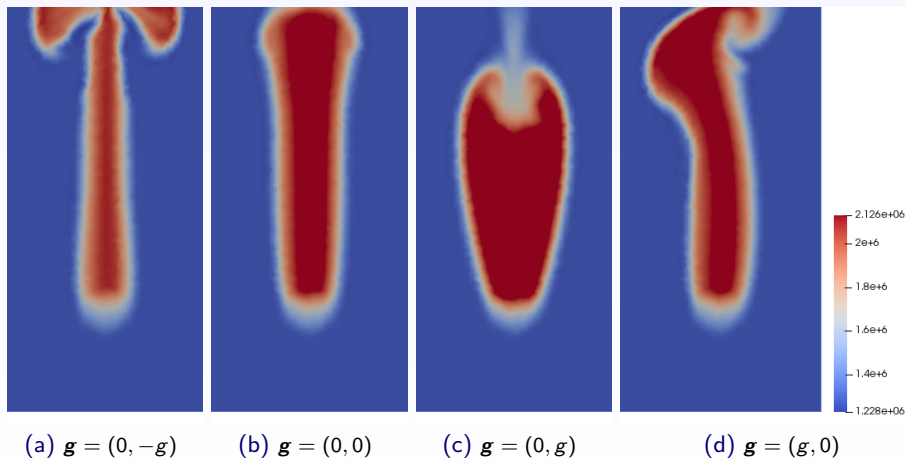
# Cas test avec chauffage localisé et changement de phase

---

$$D_e = 375 \text{ kg} \cdot \text{m}^{-2} \cdot \text{s}^{-1}, \rho_e = 750 \text{ kg} \cdot \text{m}^{-3}, \Phi = 170 \times 10^6 \text{ W} \cdot \text{m}^{-3} \mathbb{1}_D$$

# Influence de la gravité

Enthalpie pour différentes orientations de  $\mathbf{g}$  (avec changement de phase)



Instabilité de Rayleigh-Taylor / Gravité en compétition avec la convection

# Plan de l'exposé

---

- 1 Contexte
- 2 Loi d'état et prise en compte du changement de phase
- 3 Résultats théoriques sur le modèle LMNC
- 4 Approches et résultats numériques
- 5 Perspectives**

# Travaux en cours et perspectives

---

- ▶ Analyse du modèle : régularité de l'équation de transport, puis existence en temps long
- ▶ Développement d'une hiérarchie de modèles (relaxation des différents équilibres), convergences des modèles
- ▶ Analyse du modèle avec diffusion thermique (discontinuité de  $\Lambda$ )
- ▶ Code 3D en cours de développement (C. Galusinski, G. Faccanoni) : adaptation d'un code incompressible
- ▶ Couplage avec des équations simplifiées de neutronique pour déterminer  $\Phi$
- ▶ Enrichissement de la modélisation thermodynamique

Merci de votre attention!

